

# Вторая структура постоянного тока

## Аннотация

Рассматривается структура постоянного тока и потока электромагнитной энергии в проводе. Показывается, что ток распространяется внутри провода по спирали. При постоянной величине тока плотность спиральной траектории уменьшается по мере уменьшения оставшегося сопротивления нагрузки.

## Оглавление

1. Введение
2. Математическая модель
3. Потоки энергии
4. Обсуждение
- Приложение 1
- Приложение 2
- Литература

## 1. Введение

В [1-3] было показано, что постоянный ток в проводе имеет сложную структуру, а поток электромагнитной энергии распространяется внутри провода. При этом поток электромагнитной энергии

- направлен вдоль оси провода,
- распространяется вдоль оси провода,
- распространяется внутри провода,
- компенсирует тепловые потери осевой составляющей тока.

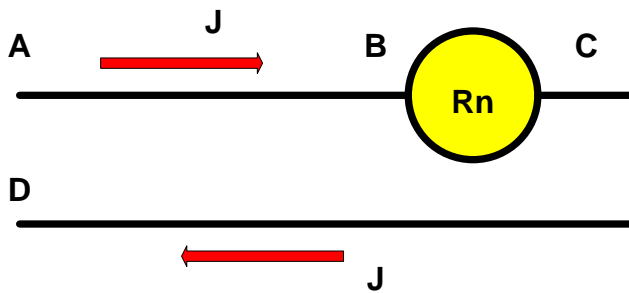


Рис. 1.

---

В [1-3] была предложена и рассматривалась математическая модель тока и потока, построенная исключительно на уравнениях Максвелла. Остался невыясненным следующий вопрос – см. рис. 1. Электрический **J** ток и поток электромагнитной энергии **S** распространяется внутри провода **ABCD** и проходит через нагрузку **Rn**. В этой нагрузке расходуется некоторая мощность **P**. Следовательно, поток энергии на участке **AB** должен быть больше потока энергии на участке **CD**. Точнее, **Sab=Scd+P**. Однако сила тока после прохождения нагрузки не изменилась. Как должна измениться структура тока, чтобы уменьшилась соответствующая ему электромагнитная энергия?

Ниже рассматривается более общая (по сравнению с [1-3]) математическая модель, позволяющая ответить и на этот вопрос. Эта математическая модель также построена исключительно на уравнениях Максвелла. В [4] описывается эксперимент, который был выполнен группой авторов в 2008 г. В [5] показано, что этот эксперимент может быть объяснен на основании нелинейной структуры постоянного тока в проводе и может служить экспериментальным доказательством существования такой структуры.

## 2. Математическая модель

При моделировании будем использовать цилиндрические координаты  $r$ ,  $\varphi$ ,  $z$  и рассматривать

- основной ток  $J_o$ ,
- дополнительные токи  $J_r$ ,  $J_\varphi$ ,  $J_z$ ,
- магнитные напряженности  $H_r$ ,  $H_\varphi$ ,  $H_z$ ,
- электрические напряженности  $E$ ,
- электросопротивление  $\rho$ .

Ток в проводе принято рассматривать как усредненный поток электронов. Механические взаимодействия электронов с атомами считаются эквивалентными электрическому сопротивлению. Очевидно,

$$E = \rho \cdot J. \quad (1)$$

Основной ток с плотностью  $J_o$  создает дополнительные токи с плотностями  $J_r$ ,  $J_\varphi$ ,  $J_z$  и магнитные поля с напряженностями  $H_r$ ,  $H_\varphi$ ,  $H_z$ . Они должны удовлетворять уравнениям Максвелла.

Эти уравнения для магнитных напряженностей и токов в стационарном магнитном поле имеют вид

$$\operatorname{div}(H) = 0, \quad (2)$$

$$\operatorname{rot}(H) = J, \quad (3)$$

Кроме того, токи должны удовлетворять условию непрерывности

$$\operatorname{div}(J) = 0. \quad (4)$$

Уравнения (2-4) для цилиндрических координат имеют вид:

$$\frac{H_r}{r} + \frac{\partial H_r}{\partial r} + \frac{1}{r} \cdot \frac{\partial H_\varphi}{\partial \varphi} + \frac{\partial H_z}{\partial z} = 0, \quad (5)$$

$$\frac{1}{r} \cdot \frac{\partial H_z}{\partial \varphi} - \frac{\partial H_\varphi}{\partial z} = J_r, \quad (6)$$

$$\frac{\partial H_r}{\partial z} - \frac{\partial H_z}{\partial r} = J_\varphi, \quad (7)$$

$$\frac{H_\varphi}{r} + \frac{\partial H_\varphi}{\partial r} - \frac{1}{r} \cdot \frac{\partial H_r}{\partial \varphi} = J_z, \quad (8)$$

$$\frac{J_r}{r} + \frac{\partial J_r}{\partial r} + \frac{1}{r} \cdot \frac{\partial J_\varphi}{\partial \varphi} + \frac{\partial J_z}{\partial z} = 0. \quad (9)$$

Для сокращения записи в дальнейшем будем применять следующие обозначения:

$$co = \cos(\alpha\varphi + \chi z), \quad (10)$$

$$si = \sin(\alpha\varphi + \chi z), \quad (11)$$

где  $\alpha, \chi$  – некоторые константы. В приложении 1 показано, что существует решение, имеющее следующий вид:

$$J_r = j_r(r)co, \quad (12)$$

$$J_\varphi = j_\varphi(r)si, \quad (13)$$

$$J_z = j_z(r)si, \quad (14)$$

$$H_r = h_r(r)co, \quad (15)$$

$$H_\varphi = h_\varphi(r)si, \quad (16)$$

$$H_z = h_z(r)si, \quad (17)$$

где  $j(r), h(r)$  – некоторые функции координаты  $r$ .

Можно полагать, что средняя скорость электрических зарядов не зависит от направления тока. В частности, при фиксированном радиусе путь, пройденный зарядом по окружности, и путь, пройденный им по вертикали будут равны. Следовательно, при фиксированном радиусе можно полагать, что  $\Delta\varphi \equiv \Delta z$ . На основе

этого предположения можно построить траекторию движения заряда в соответствии с функциями (10, 11).

На рис. 2 показаны три винтовые линии при  $\Delta\varphi = \Delta z$ , описываемые функциями (10, 11) тока: толстая линия при  $\alpha = 2, \chi = 0.8$ , средняя линия при  $\alpha = 0.5, \chi = 2$  и тонкая линия при  $\alpha = 2, \chi = 1.6$ .

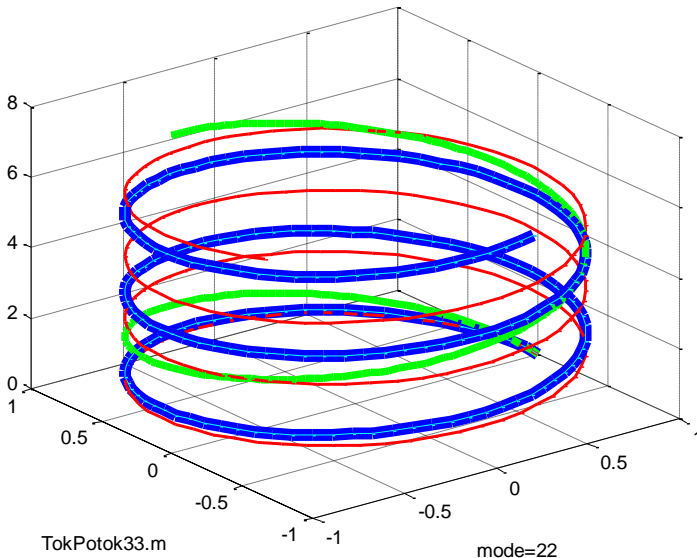


Рис. 2.

В приложении 1 показано, что функции удовлетворяют следующим уравнениям:

$$h_z(r) \equiv 0, \quad (20)$$

$$\frac{h_r(r)}{r} + h'_r(r) + \frac{h_\varphi(r)}{r} \alpha = 0, \quad (21)$$

$$-h_\varphi(r)\chi = j_r(r), \quad (22)$$

$$-h_r(r)\chi = j_\varphi(r), \quad (23)$$

$$\frac{h_\varphi(r)}{r} + h'_\varphi(r) + \frac{1}{r} \cdot h_r(r)\alpha = j_z(r). \quad (24)$$

Эта система уравнений недоопределенна – имеется 4 уравнения (21-24) для 5 переменных  $j_r, j_\varphi, j_z, h_r, h_\varphi$ . Важно отметить, что  $h_z(r) \equiv 0$ . Если одна из переменных известна, то остальные

определяются дифференцированием этой системы уравнений. Например, при известной функции  $h_\varphi(r)$  находим:

$$h'_r(r) = -\frac{h_r(r)}{r} - \frac{h_\varphi(r)}{r} \alpha, \quad (25)$$

$$j_r(r) = -h_\varphi(r)\chi, \quad (26)$$

$$j_\varphi(r) = -h_r(r)\chi, \quad (27)$$

$$j_z(r) = \frac{h_\varphi(r)}{r} + h'_\varphi(r) + \frac{1}{r} \cdot h_r(r)\alpha.. \quad (28)$$

**Пример 1.** Пусть, например,  $h_\varphi(r) = 1000(e^{1100r} - 1)$ . На рис. 3 показаны графики функций  $j_r(r)$ ,  $j_\varphi(r)$ ,  $j_z(r)$ ,  $h_r(r)$ ,  $h_\varphi(r)$ ,  $h_z(r)$ . Эти функции вычисляются при данных  $\alpha = 1$ ,  $\chi = -10^7$ , радиусе провода  $R = 0.001$  и начальном условии  $j_r(0) = 0$ . В первой колонке показаны функции  $j_r(r)$ ,  $j_\varphi(r)$ ,  $j_z(r)$ , во второй колонке показаны функции  $h_r(r)$ ,  $h_\varphi(r)$ ,  $h_z(r)$ , а функции, показанные в третьей колонке, будут рассмотрены далее. Здесь и далее все числовые результаты представлены в системе СИ. На оси абсцисс показаны величины  $(1000r)$ .

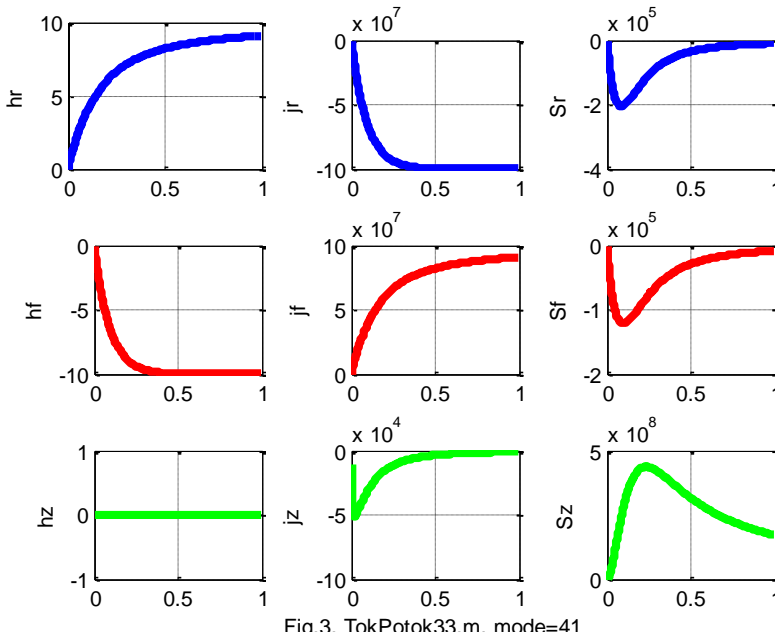


Fig.3. TokPotok33.m, mode=41

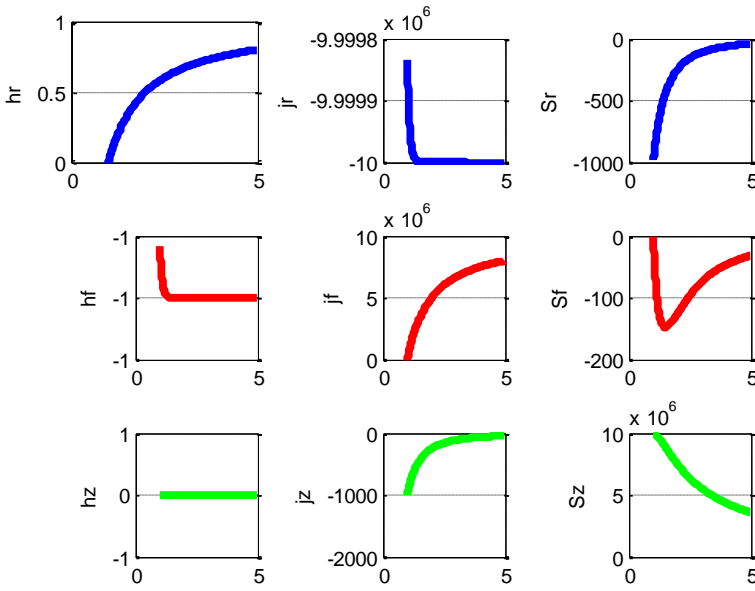


Fig.4. TokPotok33.m, mode=3

**Пример 2.** Кроме сплошного провода можно рассмотреть **трубчатый проводник**. В этом примере  $h_\phi(r) = (e^{1100r} - 1)$ . На рис. 4 показаны графики функций  $j_r(r)$ ,  $j_\phi(r)$ ,  $j_z(r)$ ,  $h_r(r)$ ,  $h_\phi(r)$ ,  $h_z(r)$ . Эти функции вычисляются при  $\alpha = 1$ ,  $\chi = -10^7$ . Основное отличие состоит в том, что область интегрирования ограничена:  $R_1 \leq r \leq R$ , причем  $R = 0.005$ ,  $R_1 = 0.2 \cdot R$ , и начальное условие  $j_r(R_1) = 0$ .

### 3. Потоки энергии

Плотность потока электромагнитной энергии — вектор Пойнтинга

$$S = E \times H. \quad (1)$$

Токам соответствуют одноименные электрические напряженности, т.е.

$$E = \rho \cdot J, \quad (2)$$

где  $\rho$  — электросопротивление. Совместая (1, 2), получаем:

$$S = \rho J \times H. \quad (3)$$

В цилиндрических координатах  $r$ ,  $\varphi$ ,  $z$  плотность потока электромагнитной энергии имеет три компоненты  $S_r$ ,  $S_\varphi$ ,  $S_z$ ,

направленные вдоль радиуса, по окружности, вдоль оси соответственно. Они определяются по формуле

$$S = \begin{bmatrix} S_r \\ S_\varphi \\ S_z \end{bmatrix} = \rho(J \times H) = \rho \begin{bmatrix} J_\varphi H_z - J_z H_\varphi \\ J_z H_r - J_r H_z \\ J_r H_\varphi - J_\varphi H_r \end{bmatrix}. \quad (4)$$

Из (2.12-2.17, 3.4) следует, что

$$S = \begin{bmatrix} S_r \\ S_\varphi \\ S_z \end{bmatrix} = \rho \iiint_{r,\varphi,z} \begin{bmatrix} (j_\varphi h_z - j_z h_\varphi) \cdot si^2 \\ (j_z h_r - j_r h_z) \cdot si \cdot co \\ (j_r h_\varphi - j_\varphi h_r) \cdot si \cdot co \end{bmatrix} dr \cdot d\varphi \cdot dz. \quad (10)$$

На рис. 3 и рис. 4 показаны функции

$$\bar{S}(r) = \begin{bmatrix} \bar{S}_r(r) \\ \bar{S}_\varphi(r) \\ \bar{S}_z(r) \end{bmatrix} = \begin{bmatrix} (j_\varphi h_z - j_z h_\varphi) \\ (j_z h_r - j_r h_z) \\ (j_r h_\varphi - j_\varphi h_r) \end{bmatrix}. \quad (11)$$

Полный поток энергии, проходящий через сечение провода,

$$\begin{aligned} \bar{\bar{S}} &= \sqrt{\left(\bar{S}_r\right)^2 + \left(\bar{S}_\varphi\right)^2 + \left(\bar{S}_z\right)^2} = \\ &= \sqrt{\rho \iint_{r,\varphi} \left[ \begin{array}{l} ((j_\varphi h_z - j_z h_\varphi) \cdot si^2)^2 + \\ + ((j_z h_r - j_r h_z) \cdot si \cdot co)^2 + \\ + ((j_r h_\varphi - j_\varphi h_r) \cdot si \cdot co)^2 \end{array} \right] dr \cdot d\varphi}. \end{aligned} \quad (12)$$

Из (12), как показано в приложении 2, следует

$$\bar{\bar{S}} = \sqrt{\frac{1}{4} \pi \rho \int_r [3(j_z h_\varphi)^2 + (j_r h_\varphi - j_\varphi h_r)^2 + (j_z h_r)^2] dr}, \quad (13)$$

что соответствует закону сохранения энергии.

Полный поток энергии равен мощности  $P$ , передаваемой по проводу, т.е.

$$\bar{\bar{S}} = P, \quad (14)$$

где

$$P = R_H \int_r \left( \int_\varphi J_o^2 d\varphi \right) dr = 4\pi R^2 R_H J_o^2, \quad (15)$$

где  $R_H$  - сопротивление нагрузки.

**Пример 3.** При условиях примера 1 и удельном сопротивлении медного провода  $\rho = 0.0175 \cdot 10^{-6}$  найдена величина потока энергии  $\overline{S_z} \approx 1000$ . Равная ему мощность  $P \approx 1000$  потребляется в сопротивлении  $R_H \approx 110$  при плотности основного тока  $J_o = 10^6$ . Важно отметить, что поток энергии вдоль провода значительно превышает потоки энергии по радиусу и по окружности. В данном примере  $\overline{S_r} = 1000$ ,  $\overline{S_\varphi} = -1.5$ ,  $\overline{S_\theta} = -0.17$  – см. также колонку 3 на рис. 1.

#### Пример 4.

В условиях примера 3 будем изменять одну из величин  $\alpha$ ,  $\chi$ , оставляя другую неизменной. В табл. 1 показаны значения величин  $\alpha$ ,  $\chi$  и мощности  $P$ , а на рис. 5 показаны соответствующие графики

Таблица 1.

Вариант	$\alpha$	$\chi$	P
41	1	$-10^7$	11000
42	0.5	$-0.38 \cdot 10^7$	11000
43	1	$-0.8 \cdot 10^7$	700
44	1	$-1.2 \cdot 10^7$	16000
45	1.5	$-10^7$	26700
45	0.5	$-10^7$	7000

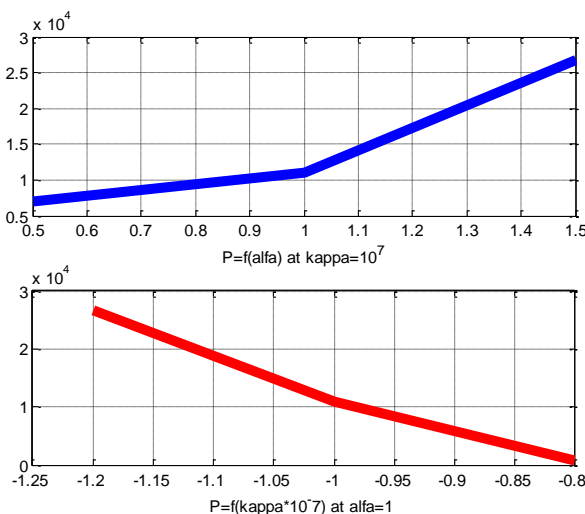


Рис. 5.

---

## Обсуждение

Итак, поток энергии вдоль оси провода  $\overline{S_z}$  создается токами и напряженностями, направленными по радиусу и окружности. Этот поток энергии равен мощности, выделяемой в нагрузке  $R_H$  и в сопротивлении провода. Токи, текущие вдоль радиуса и окружности, также создают тепловые потери. Их мощность равна потокам энергии  $\overline{S_r}$ ,  $\overline{S_\varphi}$ , направленным по радиусу и окружности.

Вопрос о том, каким образом поток электромагнитной энергии создает электрический ток, рассматривается в [8]. Там показано, что существует четвертая электромагнитная индукция, созданная изменением потока электромагнитной энергии. Затем находится зависимость э.д.с. этой индукции от плотности потока электромагнитной энергии и параметров провода.

Показано, что постоянный ток в проводе имеет сложную структуру и распространяется **внутри** провода по спирали. При постоянной величине тока плотность спиральной траектории уменьшается по мере уменьшения оставшегося сопротивления нагрузки. Имеются две составляющие тока. Плотность первой составляющей  $J_o$  постоянна на всем сечении провода. Плотность второй составляющей изменяется по сечению провода таким образом, что ток распространяется по спирали. В цилиндрических координатах  $r$ ,  $\varphi$ ,  $z$  эта вторая плотность имеет три компоненты  $J_r$ ,  $J_\varphi$ ,  $J_z$ . Они могут быть найдены как решение уравнений Максвелла.

Известен эксперимент, который может служить экспериментальным доказательством существования указанной структуры постоянного тока.

При неизменной плотности основного тока в проводе передаваемая по нему мощность зависит от параметров структуры ( $\alpha, \chi$ ), которые влияют на плотность витков спиральной траектории тока. Таким образом, один и тот же ток в данном проводе может передавать различную мощность (зависящую от нагрузки).

Снова рассмотрим рис. 1. На участке **AB** по проводу передается энергия нагрузки **P**. Ей соответствует определенное значение параметров структуры ( $\alpha, \chi$ ) и, как следствие, плотность витков спиральной траектории тока. На участке **CD** по проводу

передается незначительная энергия. Ей соответствует малая плотность витков спиральной траектории тока.

Естественно, нагрузкой является и сопротивление самого провода. Следовательно, по мере прохождения тока по проводу спираль траектории тока выпрямляется.

Зависимость плотностей токов и напряженностей от переменной  $\varphi$  подробно рассмотрена в [2]. Вообще, предложенную в [2] математическую модель можно рассматривать как следствие данной модели при  $\chi \rightarrow 0$ .

Таким образом, показано, что существует такое решение уравнений Максвелла для провода с постоянным током, которому соответствует представление о

- законе сохранения энергии,
- спиральной траектории постоянного тока в проводе,
- передаче энергии вдоль и внутри провода,
- зависимости плотности спиральной траектории от передаваемой мощности.

## Приложение 1.

Рассматривается решение уравнений (2.5-2.9) в виде функций (2.10-2.17). Далее производные по  $r$  будем обозначать штрихами. Перепишем уравнения (2.5-2.9) в виде

$$\frac{j_r(r)}{r} + j'_r(r) + \frac{j_\varphi(r)}{r} \alpha + \chi \cdot j_z(r) = 0, \quad (1)$$

$$\frac{h_r(r)}{r} + h'_r(r) + \frac{h_\varphi(r)}{r} \alpha + \chi \cdot h_z(r) = 0, \quad (2)$$

$$\frac{1}{r} \cdot h_z(r) \alpha - h_\varphi(r) \chi = j_r(r), \quad (3)$$

$$-h_r(r) \chi - h'_z(r) = j_\varphi(r), \quad (4)$$

$$\frac{h_\varphi(r)}{r} + h'_\varphi(r) + \frac{h_r(r)}{r} \cdot \alpha - j_z(r) = 0, \quad (5)$$

Умножим (5) на  $(-\chi)$ . Тогда получим:

$$-\frac{\chi \cdot h_\varphi(r)}{r} - \chi \cdot h'_\varphi(r) - \frac{\chi \cdot h_r(r)}{r} \cdot \alpha + \chi \cdot j_z(r) = 0, \quad (6)$$

Сравнивая (1) и (6), замечаем, что они совпадают, если

$$-h_\varphi(r) \chi = j_r(r), \quad (7)$$

$$-h_r(r) \chi = j_\varphi(r). \quad (8)$$

Уравнения (7, 8) совпадают с (3, 4) при  $h_z(r) = 0$ . Следовательно, при  $j_z(r) \neq 0$  система уравнений (1-5) упрощается и принимает вид

$$\frac{h_r(r)}{r} + h'_r(r) + \frac{h_\varphi(r)}{r} \alpha = 0, \quad (9)$$

$$-h_\varphi(r)\chi = j_r(r), \quad (10)$$

$$-h_r(r)\chi = j_\varphi(r), \quad (11)$$

$$\frac{h_\varphi(r)}{r} + h'_\varphi(r) + \frac{1}{r} \cdot h_r(r)\alpha = j_z(r). \quad (12)$$

Рассмотрим теперь случай, когда  $j_z(r) = 0$ . При этом исходная система примет вид:

$$\frac{j_r(r)}{r} + j'_r(r) + \frac{j_\varphi(r)}{r} \alpha = 0, \quad (13)$$

$$\frac{h_r(r)}{r} + h'_r(r) + \frac{h_\varphi(r)}{r} \alpha + \chi \cdot h_z(r) = 0, \quad (14)$$

$$\frac{1}{r} \cdot h_z(r)\alpha - h_\varphi(r)\chi = j_r(r), \quad (15)$$

$$-h_r(r)\chi - h'_z(r) = j_\varphi(r), \quad (16)$$

$$\frac{h_\varphi(r)}{r} + h'_\varphi(r) + \frac{1}{r} \cdot h_r(r)\alpha = 0. \quad (17)$$

Подставим (15, 16) в (13). Тогда получим:

$$\frac{1}{r^2} \cdot h_z(r)\alpha - \frac{1}{r} \cdot h_\varphi(r)\chi + \frac{1}{r} \cdot h'_z(r)\alpha - h'_\varphi(r)\chi - (h_r(r)\chi + h'_z(r)) \frac{\alpha}{r} = 0$$

или

$$\frac{1}{r^2} \cdot h_z(r)\alpha - \frac{1}{r} \cdot h_\varphi(r)\chi - h'_\varphi(r)\chi - h_r(r) \frac{\chi\alpha}{r} = 0 \quad (18)$$

При этом для вычисления трех напряженностей получим три уравнения (14, 17, 18). Исключим  $h'_\varphi(r)$  из (17, 18):

$$\frac{1}{r^2} \cdot h_z(r)\alpha - \frac{1}{r} \cdot h_\varphi(r)\chi + \left( \frac{1}{r} \cdot h_\varphi(r) + h_r(r) \frac{\alpha}{r} \right) \chi - h_r(r) \frac{\chi\alpha}{r} = 0$$

или

$$\frac{1}{r^2} \cdot h_z(r)\alpha = 0.$$

Таким образом, и при  $j_z(r) = 0$  должно соблюдаться условие  $h_z(r) = 0$ . Итак, система уравнений (11-14) выполняется при любом  $j_z(r)$ .

## Приложение 2.

В основном тексте показано, что полный поток энергии, проходящий через сечение провода,

$$\bar{\bar{S}} = \sqrt{\left(\bar{\bar{S}}_r\right)^2 + \left(\bar{\bar{S}}_\varphi\right)^2 + \left(\bar{\bar{S}}_z\right)^2} = \sqrt{\rho \iint_{r,\varphi} \left[ \begin{array}{l} \left( (j_\varphi h_z - j_z h_\varphi) \cdot si^2 \right)^2 + \\ + \left( (j_z h_r - j_r h_z) \cdot si \cdot co \right)^2 + \\ + \left( (j_r h_\varphi - j_\varphi h_r) \cdot si \cdot co \right)^2 \end{array} \right] dr \cdot d\varphi}.$$

Поскольку  $h_z \equiv 0$ , то

$$\bar{\bar{S}} = \sqrt{\rho \iint_{r,\varphi} \left[ \begin{array}{l} \left( -j_z h_\varphi \right) \cdot si^2 + \\ + \left( (j_z h_r) \cdot si \cdot co \right)^2 + \\ + \left( (j_r h_\varphi - j_\varphi h_r) \cdot si \cdot co \right)^2 \end{array} \right] dr \cdot d\varphi \cdot dz}.$$

В точке  $z=0$  оси OZ имеем

$$\bar{\bar{S}}_o = \sqrt{\rho \iint_{r,\varphi} \left[ \begin{array}{l} \left( -j_z h_\varphi \right) \cdot \sin^2(\alpha\varphi) + \\ + \left( (j_z h_r) \cdot \sin(\alpha\varphi) \cdot \cos(\alpha\varphi) \right)^2 + \\ + \left( (j_r h_\varphi - j_\varphi h_r) \cdot \sin(\alpha\varphi) \cdot \cos(\alpha\varphi) \right)^2 \end{array} \right] dr \cdot d\varphi}.$$

ИЛИ

$$\bar{\bar{S}}_o = \sqrt{\rho \iint_{r,\varphi} \left[ \begin{array}{l} \left( j_z h_\varphi \right)^2 \cdot \sin^4(\alpha\varphi) + \\ + \left( (j_r h_\varphi - j_\varphi h_r)^2 + (j_z h_r)^2 \right) \cdot \sin^2(\alpha\varphi) \cdot \cos^2(\alpha\varphi) \end{array} \right] dr \cdot d\varphi}.$$

ИЛИ

$$\bar{\bar{S}}_o = \sqrt{\rho \iint_{r,\varphi} \left[ \begin{array}{l} \left( j_z h_\varphi \right)^2 \cdot \sin^4(\alpha\varphi) + \\ + \frac{1}{4} \left( (j_r h_\varphi - j_\varphi h_r)^2 + (j_z h_r)^2 \right) \cdot \sin^2(2\alpha\varphi) \end{array} \right] dr \cdot d\varphi}.$$

ИЛИ

$$\bar{\bar{S}}_o = \sqrt{\rho \int_r \left[ \begin{array}{l} \left( j_z h_\varphi \right)^2 \cdot \frac{3}{4}\pi + \\ + \frac{1}{4} \left( (j_r h_\varphi - j_\varphi h_r)^2 + (j_z h_r)^2 \right) \cdot \pi \end{array} \right] dr}.$$

---

или

$$\bar{\bar{S}}_o = \sqrt{\frac{1}{4} \pi \rho \int_r [3(j_z h_\phi)^2 + ((j_r h_\phi - j_\phi h_r)^2 + (j_z h_r)^2)] dr}.$$

Очевидно, при любом выборе точки  $z=0$  на оси OZ последнее соотношение сохраняется, т.е.

$$\bar{\bar{S}}_z = \sqrt{\frac{1}{4} \pi \rho \int_r [3(j_z h_\phi)^2 + (j_r h_\phi - j_\phi h_r)^2 + (j_z h_r)^2] dr},$$

что соответствует закону сохранения энергии.

## Литература

Примечание: Vixra – архив 'viXra Funding', <http://vixra.org/funding>,  
DNA – "Доклады независимых авторов",  
ISSN 2225-6717, <http://dna.izdatelstwo.com/>

1. Хмельник С.И. Поток электромагнитной энергии в проводнике с постоянным током, DNA-32, ID16319679, 2015; ViXra, <http://vixra.org/abs/1503.0048>
2. Хмельник С.И. Структура постоянного тока, DNA-33, ID16537771, 2015; ViXra, <http://vixra.org/abs/1503.0241>
3. Хмельник С.И. Структура потока электромагнитной энергии в проводе с постоянным током, DNA-33, ID16537771, 2015; ViXra, <http://vixra.org/abs/1504.0061>
4. Торшин В.В., Бусыгин Б.П., Пащенко Ф. Ф., Круковский Л.Е. Эффект генерации постоянного электрического тока в неподвижном проводнике в постоянном магнитном поле. Институт проблем управления РАН им. В.А. Трапезникова. Альманах современной науки и образования, вып 12, 2008, <http://cyberleninka.ru/article/n/effekt-generatsii-postoyannogo-elektricheskogo-toka-v-nepodvizhnom-provodnike-v-postoyannom-magnitnom-pole>
5. Хмельник С.И. Четвертая электромагнитная индукция, DNA-31, ID16318950, 2015; ViXra, <http://vixra.org/abs/1412.0214>